

九州大学工学部 正員 ○橋本 晴行  
 九州大学工学部 正員 植東一郎  
 (株)建設技研 正員 中山比佐雄

I. もとがき 土石流は流下に伴って河床から多量の土砂を浸食して発達し定常波高に近づいていくことが高橋により明らかにされているが、本研究はその発達過程と河床侵食についてなおいっそう検討を加えるため行ったものである。

II. 実験方法 給水実験と人工降雨実験を行った。前者は $\delta=1.55$ ,  $d_m=0.82\text{cm}$ ,  $\sqrt{d_{50}/d_{16}}=1.25$ の人工骨材を長さ約7m、幅15cmの水路に厚さD=4.6cmと10cmに敷き、あらかじめ河床を水で飽和させてから実験を行った。この河床濃度 $C_s=0.59$ 、全層流動限界勾配 $\theta_* = 11^\circ$ である。後者は $\delta=2.63$ ,  $d_m=0.0876\text{cm}$ ,  $\sqrt{d_{50}/d_{16}}=1.34$ ,  $C_s=0.58$ の砂を同じ水路に10cmの厚さに敷き、水平方向で6mに渡って雨を降らせて実験を行った。 $\theta_* = 21^\circ$ である。

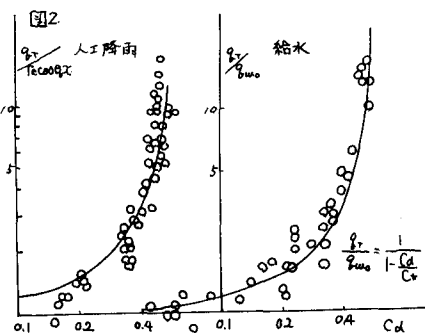
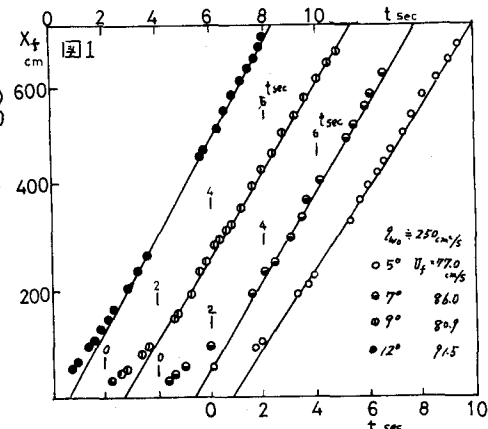
### III. 実験結果と考察

1. 先端速度 $v_t$  図1のように給水後先端速度は増加しとして一定となることが分かる。波高計算では一定速度の区間の軌跡を延長して太軸と交わった点を初期とする。

2. 先端波高 土石流の基礎式に砂の連続の式、水と砂とを合わせた連続の式、及び濃度を規定する式が考えられる。即ち  $\frac{\partial \rho}{\partial x} + \frac{\partial C_s}{\partial t} + \frac{\partial C_d}{\partial t} = 0 \cdots \text{①}$   $\frac{\partial \rho}{\partial x} + \frac{\partial R}{\partial t} + \frac{\partial Z}{\partial t} = \left\{ \begin{array}{l} 0 \\ r_e \cos \theta_0 \end{array} \right. \begin{array}{l} (\text{給水}) \\ (\text{人工降雨}) \end{array} \cdots \text{②}$

$C_d = \tan \theta / \{S(\tan \phi - \tan \theta)\} \cdots \text{③}$  である。ここに $\rho$ ,  $\rho_s$ は単位幅当りの全流量、流砂量、 $C_d$ は流砂濃度、 $\phi$ は流動層厚、 $Z$ は原河床面から引いた河床高を示し、上向きを正とする。 $r_e$ は有効雨量強度、 $\theta_0$ は原河床勾配、 $\phi$ は河床の内部摩擦角で前報より $\tan \phi = 0.8$ とする。 $S$ は粒子の水中比重。 $\text{①}, \text{②}$ より $Z$ を消去すれば  $\frac{\partial (C_s - C_d) \rho}{\partial t} + \frac{\partial (C_s - C_d) \rho}{\partial x} = \left\{ \begin{array}{l} 0 \\ r_e C_s \cos \theta_0 \end{array} \right. \begin{array}{l} (\text{給水}) \\ (\text{人工降雨}) \end{array} \cdots \text{④}$

より非定常項を無視し、給水では上流端 $X=0$ で $\rho_t = \rho_{w_0}$ (給水量)、 $C_d=0$ 、人工降雨の場合土石流発生点 $X=0$ で $\rho_t = 0$ であるとして解けば  $\left. \begin{array}{l} \rho_t / \rho_{w_0} \\ \rho_t / r_e C_s \cos \theta_0 \end{array} \right\} = C_s / (C_s - C_d) \cdots \text{⑤}$  となる。図2に実験値との比較を示す。③式において $\tan \theta = \tan \theta_0 - \frac{\partial (R+Z)}{\partial X}$ であることを考慮して、②, ⑤より非線型項を無視すると水位 $H = R + Z$ を規定する式ができる。 $\frac{\partial H}{\partial t} = K \frac{\partial^2 H}{\partial X^2}$  (給水),  $\frac{\partial H}{\partial t} = K_r X \frac{\partial^2 H}{\partial X^2} + R_c \cos \theta_0 \frac{\partial H}{\partial X} - R_0$  (人工降雨)  $\cdots \text{⑥}$  ここに  $K = C_d^2 S C_s \rho_{w_0} \tan \phi / ((C_s - C_d)^2 \tan \theta_0)$ ,  $K_r = C_d^2 S C_s r_e \cos \theta_0 \tan \phi / ((C_s - C_d)^2 \tan \theta_0)$ ,  $R_0 = r_e \cos \theta_0 (C_d \cos \theta / (C_s - C_d))$  である。 $C_d$ は③式で $\tan \theta = \tan \theta_0$ とした濃度である。給水の場合⑥式を $X=0$ で $\frac{\partial H}{\partial X} = M$ ,  $t=0$ で $\frac{\partial^2 H}{\partial X^2} = 0$ の境界条件下に代入すれば  $\frac{\partial H}{\partial X} = M \operatorname{erfc}(\eta)$  となる。ここに $\eta = X / \sqrt{Kt}$  である。⑥式を②式に代入して $X=0$ で $\rho_t = \rho_{w_0}$ の条件下に $X$ で積分すれば  $\rho_t = KM \operatorname{erfc}(\eta) + \rho_{w_0}$  となり先端 $X = U_f t$ で $\rho_t = U_f \rho$ とおけば先端波高を規定する式として  $H = \frac{KM}{U_f} \operatorname{erfc} \frac{1}{2} \sqrt{\frac{U_f X}{K}} + \frac{\rho_{w_0}}{U_f} \cdots \text{⑦}$  を得る。定常状態の濃度として $C_d$ を用いれば定常波高 $H$ は $H = (U_f / K) C_d (C_s - C_d)$  となり⑦から求まる $H$ を等置すれば  $M = (\rho_{w_0} / K) \cdot C_d / (C_s - C_d)$  となる。K, Mは以上の計算式より求め、 $U_f$ は実験値を使用して⑦式を検討し



たのが図3である。次に上流端の堆積層が給水後すぐ流失してしまう場合の非定常過程として図4のような段波先端部(I)で原河床に乗り上げたモデルを考える。そしてまずは時間のみの関数とし、先端背後(II)の河床は原河床面に対して $\beta$ という角度で直線的に浸食され、 $X_f$ と $X_s$ は一定速度 $U_f$ 、 $U_s$ で移動するとする。即ち(I)で $\frac{\partial z}{\partial t} = 0$ 、(II)で $\frac{\partial z}{\partial t} = -U_s \tan \beta$ とおいて②式を上流側から解いて行く(すばら $(d^2z/dt^2)/[(U_f - U_s)z + (R + D - R_0)\tan \beta] + (U_f - U_s)z = U_s(D - R_0) + R_{w0}$ ……⑧となり、 $t = 0$ で $R_0 = R_{w0}/U_f$ とすれば $R_0 = -(U_f - U_s)z \tan \beta - (D - R_0) + [(U_f - U_s)^2 z^2 \tan^2 \beta + 2\{U_f(D - R_0) + R_{w0}\}z \tan \beta + (R_{w0}/U_f + D - R_0)^2]^{1/2}$ ……⑨となる。 $t \rightarrow \infty$ のとき $R_0 \rightarrow$

$R_{w\infty} = [(D - R_0)U_s + R_{w0}]/(U_f - U_s)$ ……⑩。他方④式より図4の $X_f$ に沿って移動していく場合の定常状態を考えれば $(U_f - U_s)R_{w\infty}/(R_{w0} - U_s R_0) = C_d/(C_s - C_d)$ ……⑪となり、先端部で $C_d = C_{d0}$ 、 $R_0 = U_s R_{w0}$ とおけるから⑩式と連立して $R_0$ を求めることがができる。 $U_s = [C_{d0}/(C_s - (1 - R_0/C_{d0})) \cdot R_{w0}/D]$ ……⑫。 $C_{d0}$ 、 $U_s$ は計算値を、 $R_{w0}$ は実験値を、 $\tan \beta$ は上流端に堆積層が存在する場合もこのモデルで近似できることとして $\tan \beta = R_0/U_s$ を使用して⑨式を検討したのが図5である。 $t_0$ は上流端堆積層が口だけ浸食される時間であり、実験的に求める。なお⑫より求めた $U_s$ が $U_f$ より大きいときは $U_s = U_f$ とおいて計算を行った。

3. 土石流による河床浸食 ③式において $\tan \theta \approx \tan \theta_0 - \frac{\partial z}{\partial x}$ とおき、非線形項、微小項を無視すれば、⑥式においてのHをZに置きかえた式ができる。給水実験では境界条件として $Z = 0^\circ$ 、 $\frac{\partial z}{\partial x} = M$ 、先端 $X = U_f t$ で $\frac{\partial z}{\partial x} = 0$ 、 $Z = 0$ として、差分近似と慣性法近似を行った。後者の近似はLを基準長として $Z = \frac{X}{L}$ 、 $X = \frac{Z}{L}$ 、 $T = \frac{Kt}{L}$ なる無次元量で拡散方程式をあらわし、変換 $\tau = T - EX$ 、 $X = X$ を行って、解をそのべき級数に仮定して求める。ここに $\varepsilon = K/(U_f L)$ である。最終的に慣性解第一近似は $Z = -2\sqrt{(T - EX_f)K} M \sinh(\varepsilon \tau)$ ……⑬となり、 $\tau = X_f \sqrt{K(T - EX_f)}$ 。他方人工降雨の場合、右辺第2、第3項を無視すれば $\zeta = \sqrt{X_f/K(t)}$ として、 $\zeta = -[e^{(U_f - U_s)t} - 1]/[e^{(U_f - U_s)t} - 1]$ ……⑭

となる。ここに境界条件として $X = U_f t$ (後端)、 $Z = -D$ 、 $X = U_f t$ で $Z = 0$ とした。 $U_f$ は実験値をMは定常的な濃度の実験値を③に代入して求めた勾配から得、 $C_{d0}$ として実験値を、 $U_s$ は適当な値を仮定して計算を行い実験値と比較したのが図6、図7である。

IV. 結論 各計算において実験値と若干のズレがあるのは諸係数が $C_d$ の値に大きく影響をうけること、 $\tan \beta$ やMの評価に問題があることなどが考えられるが、他の多くの要素が作用していることを考慮するとこの程度のズレは良しとすべきであろう。

(1)高橋保、京大防災研究年報、No.20-8-2, 1977.

(2)橋・中山・橋本、552年度西部支郎。

